

محله بلورشناسی و کانی شناسی ایران
سال سی و سوم، شماره اول، بهار ۱۴۰۴، از صفحه ۱۶۱ تا ۱۶۸

تهیه و بررسی ساختار بلوری فسفینیک آمید جدید تک انانتیومر [$(C_6H_5)_2P(O)[NH-(S)-(-)CH(CH_3)(C_6H_4-4-CH_3)]$]: آنالیز سطح هیرشفلد

ملیحه خرمکی^۱، مهرداد پورایوبی^{*}^۱، مورگان پوپان^۲

۱- گروه شیمی، دانشکده علوم، دانشگاه فردوسی مشهد

۲- انجمن فیزیک فرهنگستان علوم چک، اسلوانس ۲، ۱۱۲۲۱، پراگ ۱، جمهوری چک

(دریافت مقاله: ۱۴۰۳/۵/۱۰، نسخه نهایی: ۱۴۰۳/۷/۱۴)

چکیده: در این پژوهش، ترکیب کایرال جدید N -پاراتولیل(اتیل)- P -Dی فنیل فسفینیک آمید، $[C_6H_5)_2P(O)[NH-(S)-(-)CH(CH_3)(C_6H_4-4-CH_3)]$ تهیه و الگوی پراش پرتوی X تک بلور آن بررسی شد. این ترکیب در سامانه بلوری راستگوشی با گروه فضایی کایرال $P2_{1}2_{1}2_{1}$ واحد فرمولی در یاخته یکه ($Z = 4$) و ثابت‌های شبکه $(a = ۲۳.۴۰\text{ \AA}, b = ۱۳.۸۷\text{ \AA}, c = ۱۱.۳۰\text{ \AA})$ متبادر می‌شود. واحد بی‌تقارن شامل دو مولکول مستقل تقارنی است که بیشترین تفاوت را در زوایای پیچشی $N-C-C-C-N$ مربوط به آمین کایرال نشان می‌دهند. در ساختار بلوری، یک آرایش سه‌بعدی از اتصال مولکول‌ها با پیوندهای هیدروژنی $O-H-O$ ، $P=C-H-\cdots O$ و $P=N-H-\cdots O$ ایجاد می‌شود. سطح هیرشفلد و نمودار دوبعدی اثر انگشتی برای بررسی برهمنکنش‌های موجود در ساختار و طیف‌های جذبی فرابنفش و دورنگ نمایی چرخشی بررسی شدند.

واژه‌های کلیدی: فسفینیک آمید؛ ساختار بلوری؛ تک انانتیومر؛ آنالیز هیرشفلد؛ نمودار اثر انگشتی.

انانتیومری [۹] ضروری باشد.

بررسی‌های انجام شده پیرامون فسفینیک آمیدها با فرمول $(NHR^1)_2P(O)(NHR^1)$ ، که NHR^1 یک قطعه کایرال است نشان می‌دهد که القای نامتقارن این گروه در اتم فسفر منجر به واکنش‌های متغیر در دو گروه دیاسترتوپی R می‌شود [۸]. تفاوت‌های دیاسترتوپی قطعه‌های از نظر فرمولی یکسان، برای مثال دو گروه C_6H_5O در آمیدوفسفودی استر کایرال و یا دو گروه C_6H_5 در فسفینیک آمید کایرال، از نظر ثابت‌های جابجایی شیمیایی و جفت شدن فسفر با هسته‌های پروتون و کربن بررسی شده است [۱۰].

فسفينیک آمیدها قطعه‌های ساختاری شناخته شده در برخی از فراورده‌ها و داروهای زیست فعال [۱۱، ۱۲] هستند.

مقدمه

ترکیب‌های دست سان (کایرال) به دلیل کاربردهای گسترده در حوزه‌های مختلف علوم مربوط به شیمی، برتری آن‌ها در سامانه‌های زیستی، ویژگی‌های ساختاری و مکان‌شناسی (توپولوژی) جذاب اهمیت بسیاری دارند [۱]. بسیاری از پژوهشگران برای طراحی و کشف ترکیب‌های کایرال متنوع با گروه‌های عاملی مختلف، و تغییرهای ساختاری برای دستیابی به ویژگی‌های مطلوبی چون ویژگی‌های نوری غیرخطی [۲]، دستگاه‌های گسیل نور قطبی شده چرخشی [۳]، کاتالیزورهای انتخابگر ایزومر آینه‌ای (انانتیومر) [۴، ۵] یا پیشکی [۶] تلاش کرده‌اند. دست سانی همچنین ممکن است برای برخی کاربردهای ویژه چون ساخت داروها [۷]، برنامه‌ریزی برخی واکنش‌های مختلف گروه‌های دیاسترتوپی [۸] و جداسازی

*نویسنده مسئول، تلفن: ۰۵۱۳۸۰۴۰۰۲، پست الکترونیکی: pourayoubi@um.ac.ir

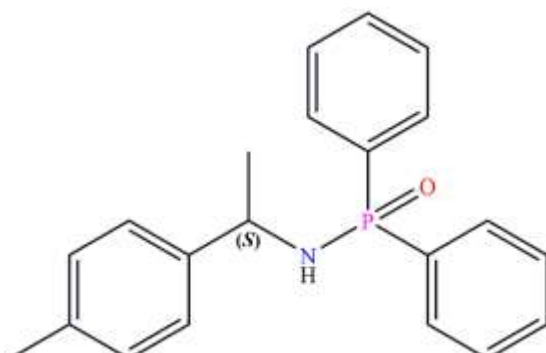
بالا بودند. ساختار ترکیب بلوری با پراش سنج پرتو X و برنامه SHELXT بررسی شد [۱۶، ۱۷]. به این منظور، از پرتو $K\alpha$ مس در دمای ۱۲۰ کلوین استفاده شد. در تهیه این ترکیب مانند ترکیب‌های هم خانواده، [۱۸] از واکنش دی فنیل فسفینیک کلرید و α -متیل بنزیل آمین و تری اتیل آمین به عنوان جاذب اسید کلریدریک در حلal کلروفرم استفاده شد. تکبلور مناسب آن با حلal کلروفرم و n-هیتان (با نسبت حجمی ۴ به ۱) به دست آمد (شکل ۱). ترکیب سنتز شده خالص انانتیومری بوده و درجه خلوص آمین استفاده شده ۹۸ درصد است. در مرکز کایرال، گروه‌ها به ترتیب از راست به چپ CH_3 , NH-P(O)Ph_2 , $\text{C}_6\text{H}_5\text{-CH}_3$ و مطابق پیکربندی مطلق S هستند (شکل ۲).

این ترکیب‌ها کاربردهای گسترده‌ای در تهیه دسته‌های مختلف از داروها [۱۱، ۱۲]، بازدارنده‌های آتش در افزودنی‌های پلیمری [۱۳] و لیگاندهای دهنده اکسیژن در شیمی کثوردیناسیون [۱۴] از خود نشان داده‌اند.

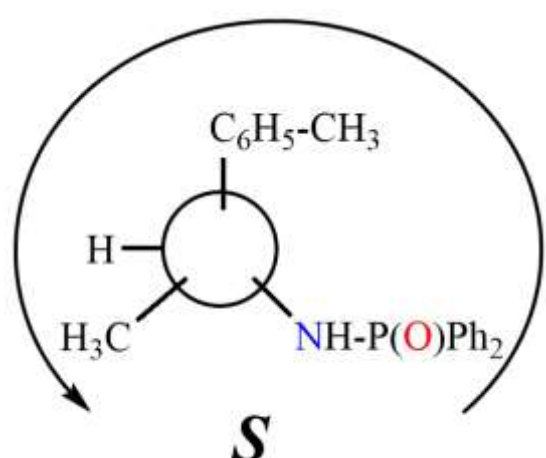
در این ترکیب‌ها، پیوند هیدروژنی $\text{N-H}\cdots\text{O}=\text{P}$ به دلیل قطبی بودن گروه $\text{P}=\text{O}$ یک برهمکنش مهم است. از این رو، بررسی سطح هیرشفلد، ابزاری ارزشمند در تحلیل این برهمکنش‌های بین مولکولی شناخته می‌شود [۱۵]. در این پژوهش، یک تحلیل ساختاری با پراش پرتو X، بررسی سطوح هیرشفلد و نمودارهای اثر انگشتی برای ترکیب کایرال جدید N-(1-پاراتولیل(اتیل)-P,P)-دی فنیل فسفینیک آمید انجام شده است.

بخش تجربی

همه مواد مورد استفاده در این پژوهش دارای خلوص تجزیه‌ای



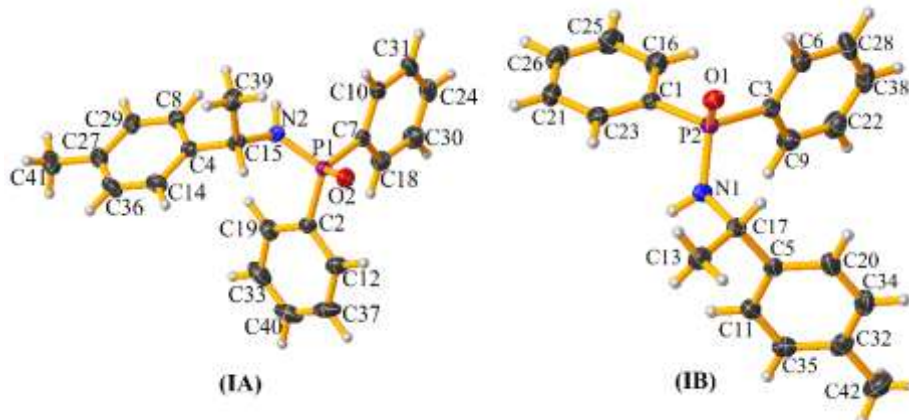
شکل ۱ ساختار شیمیابی $[(\text{C}_6\text{H}_5)_2\text{P}(\text{O})[\text{NH}-(\text{S})-(-)\text{CH}(\text{CH}_3)(\text{C}_6\text{H}_4-4-\text{CH}_3)]]$



شکل ۲ پیکربندی مطلق ترکیب.

ساختار این ترکیب (به صورت بیضوی‌های دمایی) در شکل ۳ نشان داده شده است. مشخصه‌های بلورشناسی، برخی از طول پیوندها و زوایای پیوندی انتخابی و پیوندهای هیدروژنی در جدول‌های ۱ تا ۳ آورده شده است. در این ساختار، مولکول‌های دارای اتم‌های فسفر P1 و P2 به صورت IA و IB نامگذاری شده‌اند.

بحث و نتیجه‌گیری
بررسی اطلاعات بلورنگاری *N*-(۱-پارا تولیل)انیل-*P,P*-دی فنیل فسفینیک آمید
 ترکیب سنتز شده دارای سامانه بلوری راستگوشی با گروه فضایی کایرال *P2₁2₁2₁* بوده و واحد بی‌تقارن آن شامل دو مولکول کامل است. فرمول ساختاری این ترکیب در شکل ۱ و



شکل ۳ شمایی از دو مولکول مستقل در ساختار $[(C_6H_5)_2P(O)[NH-(S)-(-)CH(CH_3)(C_6H_4-4-CH_3)]$ به صورت بیضوی‌های دمایی (بیضوی ها با احتمال ۵٪ رسم شده‌اند).

جدول ۱ مشخصه‌های بلورشناسی [A]



	فرمول
۶۷۰.۸	جرم فرمولی (گرم بر مول)
$0.20 \times 0.17 \times 0.11$	اندازه بلور (میلی متر مکعب)
راستگوشی	سامانه بلوری
<i>P2₁2₁2₁</i>	گروه فضایی (Å) <i>a</i>
۲۳۴۰۰ (۵)	(Å) <i>b</i>
۱۳۸۷۰ (۳)	(Å) <i>c</i>
۱۱۳۰۱ (۲)	γ β α
۹۰	حجم یاخته یکه (Å ³)
۳۶۶۷.۷ (۱۳)	تعداد مولکول در یاخته
۴	چگالی (گرم بر سانتی متر مکعب)
۱.۲۱۵	دما (کلوین)
۱۲۰	<i>l k h</i> مقادیر
$-13 \leq l \leq +13, -16 \leq k \leq +16, -28 \leq h \leq +27$	$[I > 3\sigma(I)] wR_2$ و R_1
۰.۰۷۵۷ و ۰.۰۲۶۳	wR_2 و R_1 (همه داده‌ها)
۰.۰۷۶۶ و ۰.۰۲۸۱	R_{int}
۰.۰۴۴	همه داده‌ها
۴۴۰	تعداد بازتاب‌های کل
۶۶۳۲	گستره ($^{\circ}\theta$) جمع‌آوری شده
۳۷۶۷.۹	(mm ⁻¹) μ
۱.۳۷	$(e \text{ \AA}^{-3}) \Delta\rho_{max}$ و $\Delta\rho_{min}$
۰.۱۳ و ۰.۱۹	$F(000)$
۱۴۲۴	

جدول ۲ برخی از طول پیوندها (Å) و زوایای پیوندی (°) در شبکه بلوری $(C_6H_5)_2P(O)[NH-(S)-(-)CH(CH_3)(C_6H_4-4-CH_3)]$

طول پیوند				
P1–O2	۱,۴۸۶۷(۱۳)	P2–O1	۱,۴۸۹۹(۱۲)	
P1–N2	۱,۶۲۹۲(۱۵)	P2–N1	۱,۶۳۰۵(۱۵)	
P1–C2	۱,۸۰۴۱(۱۷)	P2–C1	۱,۸۰۳۶(۱۷)	
P1–C7	۱,۸۰۶۱(۱۷)	P2–C3	۱,۸۰۰۴(۱۷)	
N2–C15	۱,۴۶۸(۲)	N1–C17	۱,۴۷۷(۲)	
زاویه پیوند				
O2–P1–N2	۱۱۶,۳۵(۷)	O1–P2–N1	۱۱۵,۳۸(۷)	
O2–P1–C2	۱۰۹,۲۱(۷)	O1–P2–C1	۱۱۳,۳۱(۷)	
O2–P1–C7	۱۱۳,۵۴(۷)	O1–P2–C3	۱۰۸,۵۶(۷)	
N2–P1–C2	۱۰۷,۶۹(۷)	N1–P2–C1	۱۰۳,۶۰(۷)	
N2–P1–C7	۱۰۳,۱۰(۷)	N1–P2–C3	۱۰۸,۲۱(۷)	
C2–P1–C7	۱۰۶,۳۰(۸)	C1–P2–C3	۱۰۷,۳۸(۷)	
P1–N2–C15	۱۲۱,۸۲(۱۱)	P2–N1–C17	۱۲۰,۰۹(۱۱)	
P1–N2–H1n2	۱۲۱,۴(۱۳)	P2–N1–H1n1	۱۲۳,۷(۱۳)	
C15–N2–H1n2	۱۱۵,۲(۱۳)	C17–N1–H1n1	۱۱۴,۴(۱۳)	

جدول ۳ مشخصه‌های پیوند هیدروژنی $(C_6H_5)_2P(O)[NH-(S)-(-)CH(CH_3)(C_6H_4-4-CH_3)]$ بر حسب (° و Å)

D–H···A	D–H	H···A	D···A	D–H···A
C8–H1c8···O1 ⁱ	۰,۹۶	۲,۴۶	۳,۳۷۷(۲)	۱۵۹,۷.
N2–H1n2···O1 ⁱ	۰,۹۰(۲)	۱,۹۴(۲)	۲,۸۳۳۳(۱۹)	۱۷۴,۳(۱۹)
N1–H1n1···O2 ⁱⁱ	۰,۹۳(۲)	۱,۹۴(۲)	۲,۸۶۶۹(۱۹)	۱۷۲,۶(۱۹)

کدهای تقارنی: (i) $-x+۳/۲, -y, z+۱/۲$; (ii) $x-۱/۲, -y+۱/۲, -z+۱$

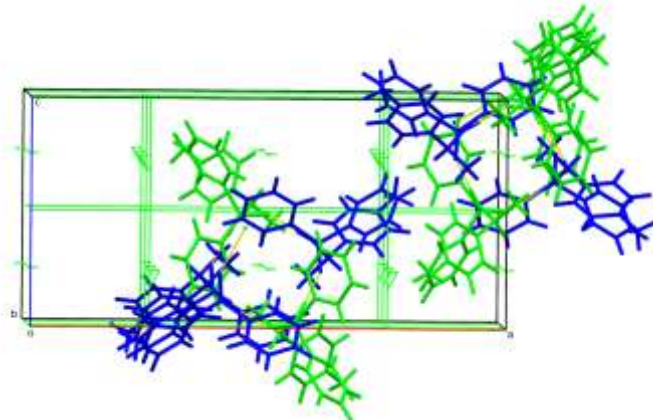
شماهی از روی هم افتادن دو مولکول در شکل ۵ آورده شده و مقدار محاسبه شده ریشه میانگین مربعی (RMS) برابر با ۰,۰۰۷ Å است. بیشترین تفاوت دو مولکول در زاویه پیچشی N–C–C–C مربوط به آمین کایرال است (زاویه پیچشی N2–C15–C4–C14 در مولکول IA و زاویه پیچشی N1–C17–C5–C11 در مولکول IB به ترتیب ۱۴۰,۲° و ۱۴۰,۶° هستند). هر دو مولکول در قطعه O–P–N–H هستند. پیکربندی تاقدیس‌وار (anticlinal) را نشان می‌دهند (با زاویه پیچشی ۱۱۷,۱° و ۱۲۰,۷°). چنان‌که دیده می‌شود، این پیکربندی، مستعد آرایش زنجیری است و مولکول‌های مستقل از نظر تقارنی به صورت یک درمیان با پیوندهای هیدروژنی N–H···O=P در راستای محور *a* قرار دارند (شکل ۶ الف). انبوهه سه‌بعدی شامل برهمنکش‌های N–H···O=P، C–H···π و C–H···O=P به ترتیب در شکل ۶، ب و ۷ آورده شده است.

تجزیه سطح هیرشفلد و نمودار دو بعدی اثر انگشتی

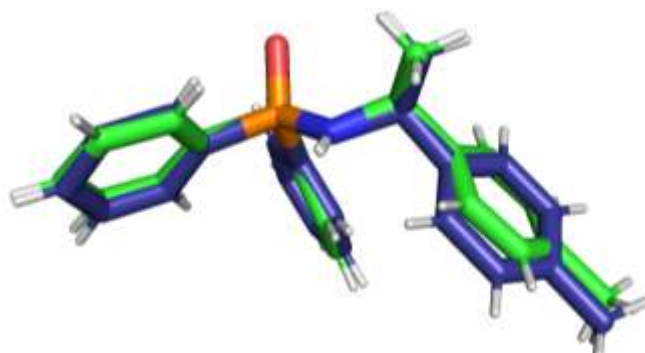
اتم فسفر در این ترکیب دارای پیکربندی چاروجهی انحراف-یافته است و بیشینه و کمینه زاویه‌های پیرامون اتم فسفر برابر با ۱۱۶,۳۵(۷) ° (O2–P1–N2) و ۱۰۳,۱۰(۷) ° (O1–P2–N1) برای مولکول IA و ۱۱۵,۳۸(۷) ° (N2–P1–C7) برای مولکول IB هستند. طول پیوند فسفر-اکسیژن برای مولکول IA برابر با ۱,۴۸۶۷(۱۳) Å و برای مولکول IB برابر با ۱,۴۸۹۹(۱۲) Å است. همچنین طول پیوند فسفر-نیتروژن به ترتیب ۱,۶۲۹۲(۱۵) Å و ۱,۶۳۰۵(۱۵) Å در مولکول‌های IA و IB بوده که کوتاهتر از پیوند ساده فسفر-نیتروژن (۱,۷۷ Å) است [۱۹]. در هر دو مولکول، اتم‌های نیتروژن یک محیط تقریباً مسطح را با ۲ درجه انحراف از حالت آرمانی ۳۶۰° نشان می‌دهند. از این‌رو، اتم‌های نیتروژن پذیرنده مناسبی برای شرکت در پیوند هیدروژنی نیستند. شکل ۴ پکیدگی دو مولکول مستقل از نظر تقارنی را پیرامون محور پیچی ۲۱ در یاخته یکه نشان می‌دهد.

نرمافزار CrystalExplorer نسخه ۱۷/۵ استفاده شد [۲۰]. در نقشه‌های سطح هیرشفلد، لکه‌های قرمز مربوط به تماس‌هایی با فاصله‌های نزدیک‌تر از مجموع شعاع‌های واندروالس (vdW) و نواحی سفید و آبی به ترتیب نشان‌دهنده تماس‌های پیرامون جدایی vdW و تماس‌های طولانی‌تر هستند [۲۱].

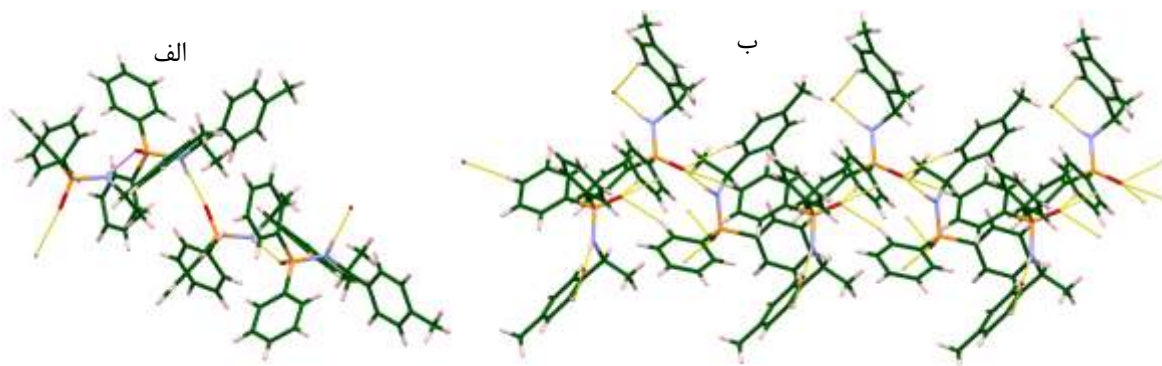
تجزیه و تحلیل سطح هیرشفلد، شامل سطوح سه‌بعدی و نمودارهای اثر انگشت دو بعدی، توصیف مفصلی از برهمنکنش‌ها را در ساختارهای بلوری ارائه می‌دهد [۱۵]. برای بررسی برهمنکنش‌های بین‌مولکولی در ترکیب کایرال $(C_6H_5)_2P(O)[NH-(S)-(-)CH(CH_3)(C_6H_4-4-CH_3)]$ از



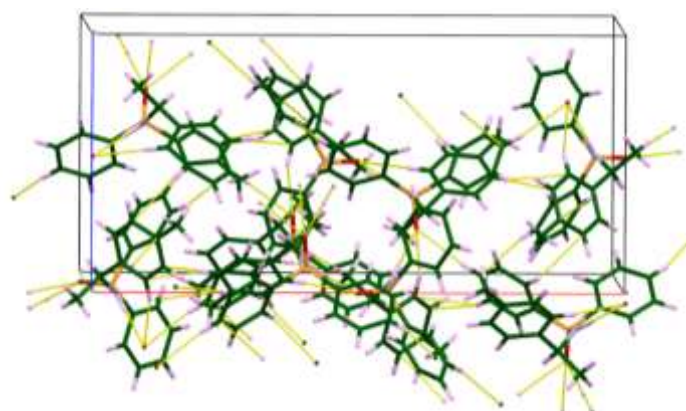
شکل ۴ شماتی از پکیدگی دو مولکول مستقل از نظر تقارنی پیرامون محور پیچی ۲۱. مولکول‌های مستقل تقارنی IA و IB به ترتیب به رنگ‌های آبی و سبز نشان داده شده‌اند.



شکل ۵ شماتی از بهترین روی هم افتادن دو مولکول مستقل از نظر تقارنی IA و IB. اندیشه‌ای کربن در IA و IB به ترتیب به رنگ‌های آبی و سبز نشان داده شده‌اند.



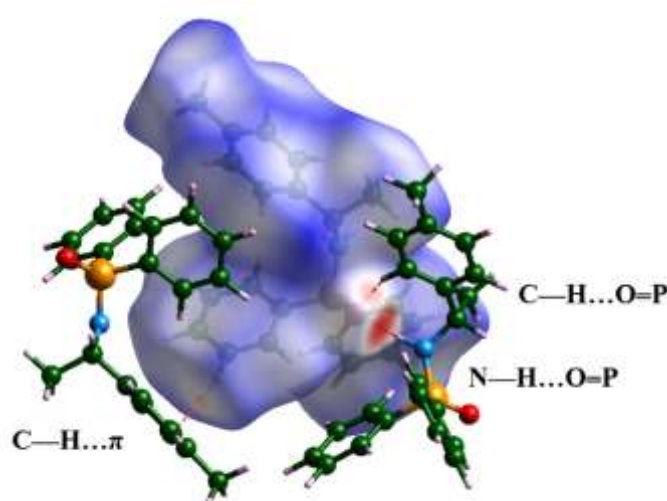
شکل ۶ شماتی از الگوی پیوند هیدروژنی $(C_6H_5)_2P(O)[NH-(S)-(-)CH(CH_3)(C_6H_4-4-CH_3)]$. (الف) الگوی یکبعدی که با پیوند هیدروژنی $C-H \cdots O=P-N-H \cdots O$ ایجاد شده است. (ب) بخشی از الگوی سه‌بعدی تشکیل شده با پیوندهای هیدروژنی.



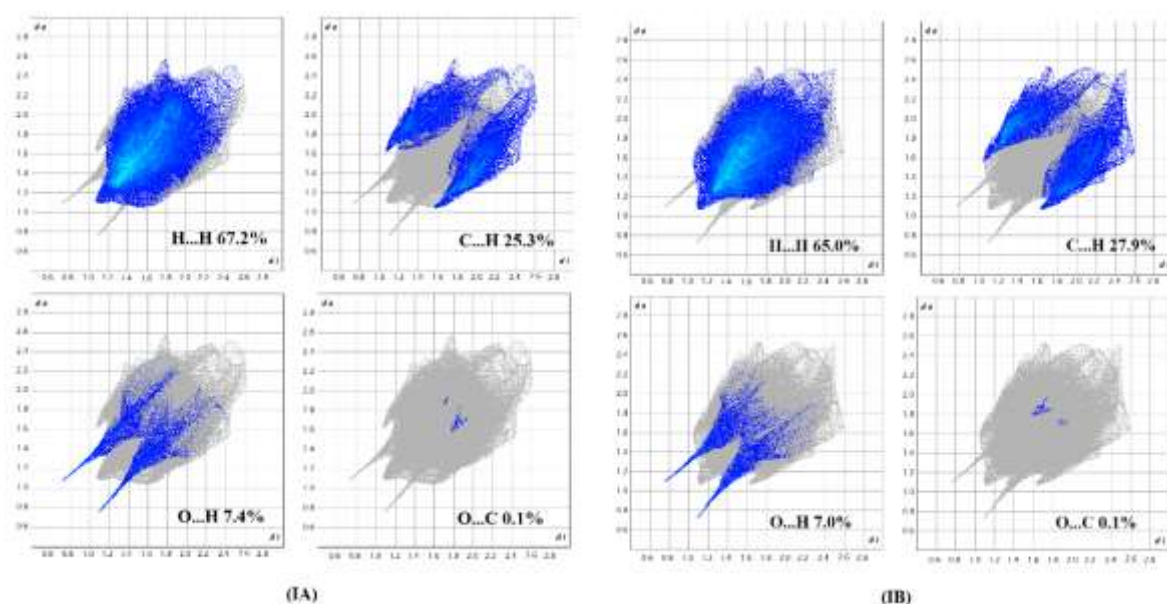
شکل ۷ شماتیک از الگوی پیوند هیدروژنی ساختار $[(C_6H_5)_2P(O)[NH-(S)-(-)CH(CH_3)(C_6H_4-4-CH_3)]$. الگوی سهبعدی از پیوندهای هیدروژنی $P=O\cdots H-N$ و $C-H\cdots \pi$ و $C-H\cdots O=P$ دیده می‌شود.

طیف‌های جذبی فرابنفش (UV) و دورنگ نمایی چرخشی (CD) طیف‌های جذبی فرابنفش (UV) و دورنگ نمایی چرخشی (CD) به ترتیب از محلول‌های با غلظت ۰۰۲۸۴ میلی مولار در حلal دی‌کلرومتان و غلظت ۰۰۳۷۵ میلی مولار در حلal کلروفرم تهیه گردید (شکل ۱۰). در طیف UV قله‌های جذبی دیده شده در ۲۳۰ و ۲۶۴ نانومتر به ترتیب به انتقال‌های $\pi\rightarrow\pi^*$ و $n\rightarrow\pi^*$ حلقه آمین و حلقه‌های فنیل نسبت داده می‌شوند. در طیف CD، حضور جذبهای در ۲۴۶ و ۲۶۵ نانومتر مربوط به انتقال‌های $\pi\rightarrow\pi^*$ و $n\rightarrow\pi^*$ نشان دهنده انتقال دست ساتی به کل مولکول هستند.

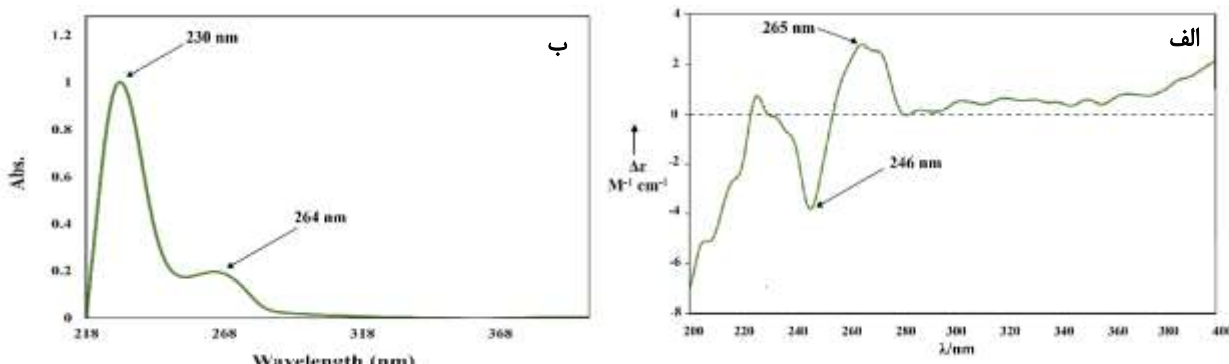
در سطح هیرشفلد این ترکیب (شکل ۸)، پیوند هیدروژنی $N-H\cdots O=P$ به صورت ناحیه قرمز رنگ بزرگ و برهمکنش‌های $C-H\cdots O=P$ به صورت ناحیه قرمز رنگ کوچک و $C-H\cdots \pi$ به صورت لکه‌های قرمز کمرنگ ظاهر شده‌اند. نمودارهای اثر انگشتی نمایهای گرافیکی را بر حسب d_i و d_e ارائه می‌دهند. براساس این نمودارها (شکل ۹)، در این ساختار برهمکنش‌های $H\cdots H$ بیشترین درصد از کل برهمکنش‌های بین‌مولکولی را شامل می‌شود (۶۷٪ برای IA و ۶۵٪ برای IB). درصد توزیع سایر برهمکنش‌های این ساختار به ترتیب ۲۵٪ (C \cdots O)، ۲۴٪ (O \cdots H)، ۲۰٪ (O \cdots C) و ۱۱٪ (C \cdots H) در مولکول IA و ۲۷٪ (C \cdots H)، ۲۰٪ (O \cdots C) در مولکول IB است.



شکل ۸ نمایش سطح هیرشفلد ترکیب کایرال $[(C_6H_5)_2P(O)[NH-(S)-(-)CH(CH_3)(C_6H_4-4-CH_3)]$. پیوندهای هیدروژنی $P=O\cdots H-N$ و $C-H\cdots \pi$ و $C-H\cdots O=P$ در شکل آورده شده اند. مولکول IB درون سطح هیرشفلد قرار داده شده است.



شکل ۹ نمودارهای دوبعدی اثر انگشتی (سمت راست برای IB و سمت چپ برای IA).



شکل ۱۰ (الف) طیف CD، (ب) طیف جذبی (UV).

قدردانی

نویسندها از دانشگاه فردوسی مشهد برای حمایت‌های پژوهشی از طرح ۳۵۳۹۳۸ سپاسگزارند.

مراجع

- [1] Prins L.J., Reinhoudt D.N., Timmerman, P., "Noncovalent Synthesis Using Hydrogen Bonding", *Angewandte Chemie International Edition* 40 (2001) 2382–2426.
- [2] Gu B., Zhao C., Baev A., Yong K-T., Wen S., Rasad P.N., "Molecular Nonlinear Optics : Recent Advances and Applications", *Advances in Optics and Photonics* 8 (2016) 328–369.
- [3] Zinna F., Giovanella U., Di Bari L., "Highly Circularly Polarized Electroluminescence from a Chiral Europium Complex", *Advanced Materials*

برداشت

در این پژوهش، ترکیب کایرال جدید *N*-(۱-پاراتولیل)اتیل-*P,P*-دی فنیل فسفینیک آمید تهیه گردید. بررسی‌های بلورشناسی وجود پیوندهای هیدروژنی $O\cdots O$, $N\cdots O$ و $C\cdots H\cdots O$ را در این ترکیب نشان می‌دهد. این برهمکنش‌ها آرایه‌ای سه‌بعدی را ایجاد می‌نمایند. نمایه گرافیکی این برهمکنش‌ها با تجزیه سطح هرشفیلد ارائه شد. نمودارهای اثر انگشتی درصد توزیع برهمکنش‌ها را به ترتیب بیشترین مشارکت به صورت: $O\cdots O < C\cdots H < H\cdots H$ نشان می‌دهد. در طیف‌های جذبی فرابنفش و دورنگ نمایی چرخشی، انتقال $n\rightarrow\pi^*$ و $\pi\rightarrow\pi^*$ دیده شدند.

- Y., Wong P., Braun M.R., Flint M., McMullan L.K., Chen S., Fearn R., Swaminathan S., Mayers D.L., Spiropoulou C.F., Lee W.A., Nichol S.T., Cihlar T., Bavari S., "Therapeutic Efficacy of the Small Molecule GS-5734 Against Ebola Virus in Rhesus Monkeys", *Nature* 531 (2016) 381–385.
- [12] Palacios F., "Synthesis of β -Aminophosphonates and -Phosphinates", *Chemical Reviews* 105 (2005) 899–931.
- [13] Nguyen C., Kim J., "Thermal Stabilities and Flame Retardancies of Nitrogen – Phosphorus Flame Retardants Based on Bisphosphoramidates", *Polymer Degradation and Stability* 93 (2008) 1037–1043.
- [14] Aladzheva I.M., Bykhovskaya O.V., Nelyubina Y.V., Klemenkova Z.S., Petrovskii P.V., Odintsev I.L., "Uranium Complexes of Cyclic O,O-bidentate Ligands With the P-N-P Backbone", *Inorganica Chimica Acta* 373 (2011) 130–136.
- [15] Spackman M.A., Jayatilaka D., "Hirshfeld Surface Analysis", *CrystEngComm* 11 (2009) 19–32.
- [16] Sheldrick G.M., "Crystal Structure Refinement With SHELXL", *Acta Crystallographica Section C: Structural Chemistry* 71 (2015) 3–8.
- [17] Sheldrick G.M., "SHELXT—Integrated Space-Group and Crystal-Structure Determination", *Acta Crystallographica Section A: Foundations and Advances* 71 (2015) 3–8.
- [18] Hamzehee F., Pourayoubi M., Farhadipour A., Choquesillo-Lazarte D., "Two New Phosphinic Amides: Synthesis, Crystal Structure, and Theoretical Study of Hydrogen Bonding", *Phosphorus, Sulfur, and Silicon and the Related Elements* 192 (2017) 359–367.
- [19] Corbridge D.E.C., *Phosphorus-An outline of its chemistry, biochemistry, and technology*, Boca Raton 2013.
- [20] Spackman P.R., Turner M.J., McKinnon J.J., Wolff S.K., Grimwood D.J., Jayatilaka D., Spackman M.A., "CrystalExplorer: a Program for Hirshfeld Surface Analysis, Visualization and Quantitative Analysis of Molecular Crystals", *Journal of Applied Crystallography* 54 (2021) 1006–1011.
- [21] McKinnon J.J., Jayatilaka D., Spackman M.A., "Towards Quantitative Analysis of Intermolecular Interactions With Hirshfeld Surfaces", *Chemical Communications* 37 (2007) 3814–3816.
- Letters 27 (2015) 1791–1795.
- [4] Headley C.E., Marsden S.P., "Synthesis and Application of P-Stereogenic Phosphines as Superior Reagents in the Asymmetric Aza-Wittig Reaction", *Journal of Organic Chemistry* 72 (2007) 7185–7189.
- [5] Hua D.H., Chan-yu-king R., Mckie J.A., "Chiral Allylphosphonyl Anions (Ambident Nucleophiles) with Cyclic Enones (Ambident Electrophiles)", *Journal of the American Chemical Society* 109 (1987) 5026–5029.
- [6] De Luca L., Chiminazzo A., Sperni L., Strukul G., Scarso A., "Stereoselective Synthesis of Chiral Isatin Containing Bisphosphonates as Potential Anti-Resorption Bone Drugs", *ChemistrySelect* 2 (2017) 3262–3267.
- [7] Bredikhin A.A., Gubaïdullin A.T., Bredikhina Z.A., Krivolapov D.B., Pashagin A.V., Litvinov I.A., "Absolute Configuration and Crystal Packing for Three Chiral Drugs Prone to Spontaneous Resolution: Guaifenesin, Methocarbamol and Mephenesin", *Journal of Molecular Structure* 920 (2009) 377–382.
- [8] Nakayama K., Thompson W.J., "A Highly Enantioselective Synthesis of Phosphate Triesters", *Journal of the American Chemical Society* 112 (1990) 6936–6942.
- [9] Karimi Ahmadabad F., Pourayoubi M., Bakhshi H., "Decorated Single-Enantiomer Phosphoramido-Based Silicamagnetic Nanocomposites for Direct Enantioseparation", *RSC Advances* 9 (2019) 27147–27156.
- [10] Eslami F., Pourayoubi M., Sabbagh F., Skořepová E., Dušek M., Baniyaghoob S., "Diastereotopic Groups in Two New Single-Enantiomer Structures $(R)_2P(O)[NH(+)]CH(C_2H_5)(C_6H_5)$ ($R = OC_6H_5$ and C_6H_5)", *Acta Crystallographica Section E, Crystallographic Communications* 79 (2023) 769–776.
- [11] Warren T.K., Jordan R., Lo M.K., Ray A.S., Mackman R.L., Soloveva V., Siegel D., Perron M., Bannister R., Hui H.C., Larson N., Strickley R., Wells J., Stuthman K.S., Van Tongeren S.A., Garza N.L., Donnelly G., Shurtleff A.C., Retterer C.J., Gharaibeh D., Grimes E., Welch L.S., Gomba L., Wilhelmsen C.L., Zamani R., Kenny T., Brett P., Nichols D.K., Nuss J.E., Nagle E.R., Kugelman J.R., Palacios G., Doerfler E., Neville S., Carra E., Clarke M.O., Zhang L., Lew W., Ross B., Wang Q., Chun K., Wolfe L., Babusis D., Park Y., Stray K.M., Trancheva I., Feng J.Y., Barauskas O., Xu